

## TAKİP ETTİĞİMİZ 18 SSPE VAK'ASININ KLINİK VE ELEKTRONMİKROSKOPİK BULGULARI\*\*\*

Orhan Ünalı\*

Nermin Mutluer\*

Nursel Aydın\*

Meral Tekelioğlu\*\*

Nurşen Sayın\*\*

SSPE Çocuklarda ve genç erişkinlerde görülen, kızamık virüsü veya kızamığa benzer başka bir virüsle yakın ilişkisi olan henüz kesin olarak tanımlanamamış bir virusun santral sinir sisteminde oluşturduğu yavaş progresyon gösteren bir enfeksiyon hastalığıdır. Hastalık daha çok kırsal kesimde yaşayan, sosyo-ekonomik düzeyi düşük toplumlarda, erkek çocukların ve 2 yaşından önce kızamık geçirenlerde daha sık gözlenmektedir.

SPPE'nin ilk klinik tanımı 1933 yılında Dawson tarafından yapılmış ve daha sonraki yıllarda yapılan klinik gözlemler sonucu bu tanımlamada büyük değişiklikler olmuştur. Genel olarak SSPE kişilik değişikliği, kabiliyetlerde azalma ve mental gerileme ile başlar, gidererek bu tabloya myoklonik nöbetler, ataksi, disfaji, artan mental yıkım, şuur bozukluğu, jeneralize tonik nöretler, spastisite, refleks artımı, patolojik reflekslerin ortaya çıkması, rijidite, koma eklenir ve ölümle sonuçlanır.

Akut kızamık enfeksiyonundan sonra SSPE'ye ait semptomlar 8 yıl sonraya kadar görülmeyebilir. Ancak immünsüpresse çocuklarda birkaç hafta veya ayda da ortaya çıkabilemektedir. Literatürde yayınlanan en genç olgu 2, en yaşlı olgu ise 32 yaşındadır. Ancak genel olarak vakaların çoğullığında akut kızamık enfeksiyonundan 5-8 yıl sonra ve ortalama olarak 8-10 yaş civarında hastalık ortaya çıkmaktadır.

\* A. Ü. Tıp Fak. Nöroloji Anabilim Dalı

\*\* A. Ü. Tıp Fak. Histoloji Anabilim Dalı

\*\*\* Bu çalışma Bursa II. Ulusal Nöroloji Kongresi'nde sunulmuştur.

Jabbour'un (10) 1967 - 74 yılları arasında yaptığı gözlemler sonucu belirttiği klinik özelliklerinde de son zamanlarda büyük değişimler meydana gelmiş ve çok sayıda ~tipik manifestasyonları rapor edilmiştir. Bu manifestolardan birisi hıçlı ilerleyen SSPE formudur ki; form ani başlangıç gösterir, hiçbir tedavi denemesine cevap vermez ve 3 ay içinde ölümle sonuçlanarak çok kötü bir прогноз gösterir. Özellikle bu formun kızamık aşısı ile yakın ilişkisine dikkat çekilmektedir (10).

Yapılan araştırmalarda hastalığı başlatan ortak bir tetikleyici faktör bulunamamıştır (3). Bazı yaynlarda SSPE geçiren çocukların daha önceki yaşamlarında üst solunum yolu enfeksiyonu öyküsünün sık olduğunu, ayrıca SSPE geçiren hastaların kızamık geçirdikleri sıradan ve ondan önce sık sık enfeksiyon geçirdiklerini, bununda bu çocukların immün olarak immatür olabileceğini akla getirdiği ve bu immün defektin bu çocukların çok erken yaşıta kızamık geçirmelerinin nedeni olabileceği belirtilmektedir.

Son zamanlarda in-situ hybridisation tekniği ile SSPE'li hastaların periferik kanlarındaki ve appendix dokusundaki lenfositlerde fazla miktarda kızamık virüsüne ait RNA partiküllerinin bulunması kızamık atağı geçtikten çok sonra bile viral genetik bilginin SSPE'li hastaların immün sisteminde saklandığını göstermektedir (2,4).

SSPE'den sorumlu olan kızamık virüsünün M-proteini bulunmamaktadır. Bu protein tomurcuklanma ile çoğalmayı sağlar ve eksikliğinde virüsün çoğalması hücreden hücreye füzyon yolu ile olur. Virüs hastanın immün cevaplarından korunmuş bir bölge olan santral sinir sisteminde yaşamını hücre içinde sürdürür. Yıllar içinde çoğaldıktan sonra çok sayıda hücrenin yıkımı sonucunda klinik tablo ortaya çıkar (1,6).

Freeman'in değerlendirmesine göre hastalık altı evreye ayrılabilir (5);

I devre : a) Davranış bozuklukları  
b) Mental gerileme

II. devre : a) Myoklonik nöbetler, silkinme  
b) I. motor nöron bulguları (Spastisite, DTR artımı, Babinski pozitifliği)  
c) Ekstra pramidal bulgular (rijidite, v.b.)

- III. devre : a) Mimiklerin silinmesi  
b) Yatağa bağlanma  
c) Otonomik bozukluklar/vital bulgularda bozulma  
d) Yutamama, ağızdan beslenememe, uyku bozuklukları  
e) Derin koma

IV. devre : Remisyon süresi

V. devre : Relaps zamanı

VI. devre : Ölüm

Hastaların % 85'i bu evreleri progresif bir şekilde izleyerek ölümle sonuçlanır. Geri kalan % 15 olgu ise ağır sekellerle remisyona girer (1).

**TANI :** Tipik hikaye ve klinik bulgulara ek olarak şüphesizki en yardımcı laboratuvar tetkiki EEG dir. SSPE için patognomonik denilebilecek derecede spesifik sayılan EEG bulgusu; 3 - 30 sn. de bir gözlenen yaygın, paroksismal, yüksek voltaj yavaş dalgalar kompleksleri ve bu yavaş dalgalar üzerine süperpoze olmuş SSPE kompleksleridir. Bazan bu tipik EEG bulgusuna özellikle paryetookcipital bölgelerde gözlenen fokal zemin aktivitesi yavaşlaması ilave olabilir. Bu paroksismal deşarjların en önemli diğer bir özelliği de İ.V. diazepam ile süpresse olmamasıdır.

Yine bu paroksismal deşarjlar genellikle myoklonik jerklere sennkron olup; myoklonik nöbetlerin tabloya egemen olduğu II. devrede daha çok gözlenir, diğer evrelerde ortaya çıkmayabilir.

Diger tanıda yardımcı laboratuvar bulgusu ise beyin omurilik sıvısında (BOS) immün elektroforez ile Ig G de belirgin olmak üzere gammaglobulinlerdeki artımın gösterilmesidir. Ayrıca SSPE'li hastalarda Ig G indexinde de belirgin artma gözlenir (5).

Antikızamik antikor titresi BOS'ta ve kanda artmış olup; Hemaglutinasyon inhibisyon (HI) metodu ile bakılan ve BOS'ta 1/8 in, kanda ise 1/128 in üzerindeki antikor titraji tanıyı destekleyici bir diğer laboratuvar bulgusudur.

Hastalığın kesin teşhisine varmada şüphesizki en değerli fakat fazla in-vaziv olan laboratuvar bulgusu kortikal biopsidir. Genellikle kortikal biopsi hastalığın II. ve III. evrelerinde tipik bulgu verir. Biopside başlangıçta oksipital bölge ve beyin sapında, hastalığın geç evrelerinde de tüm serebral hemisferler ve bazal ganglionlarda perivas-

küler lenfosit ve plazma hücresi infiltrasyonu, değişik derecelerde gliozis ve nöronofaji, en tipik bulgu olarak da nöron ve glia hücreleri içinde intranükleer ve intrastoplasmik virüs nükleokapsidlerinin inklüzyonlar biçiminde gözlenmesidir.

Kranial bilgisayarlı tomografide tanıda yardımcı olabilir. SSPE'ye özgü kranial BT görünümü olmamakla beraber; beyin ödemi, serebral ve serebeller atrofi, beyaz cevher yoğunluğunda azalma, 4. Ventrikül dilatasyonu ve beyin sapı atrofisi gözlenebilir.

### MATERİYEL ve METOD

1985 - 89 yılları arasında kliniğimizde yatırılarak klinik ve laboratuvar olarak SSPE tanısı konan 3'i erkek 10'u da kız olmak üzere 18 vak'a bu çalışmaya alındı. Tüm hastaların ayrıntılı hikayesi, özellikle kızamık geçirme yaşları ve başka enfeksiyonların sıklığı, ayrıntılı fizik ve nörolojik muayeneleri, rutin kan, idrar ve biokimyasal araştırmaları, kanda ve BOS'ta Ig G tayinleri, ayrıntılı BOS analizleri, direkt kraniografi ve bazı vak'alara angiografi yapıldı. İlaveten 2 vak'a da kortikal biopsi (Vak'a 4 ve 7) yapıldı. Frontal bölgeden elektron mikroskopi için alınan biopsi materyeline önce ön tespit işlemi olarak 0,1 N PH 7,2 fosfat tamponundan hazırlanan % 2,5 lik gluteraldehit karışımında 2 saat süreyle +4 derecede yapıldı. Sonra 0,1 N fosfat tamponunda +4 derecede 3 saat yıkanan dokulara 0,2 N fosfat tamponla 0,1 lik hazırlanan Osmiyum tetroksit karışımında +4 derecede 1 saat süreyle son tespit yapıldı.

Vranil asetatla 1 saat karanlık odada blok yıkama yapıldıktan sonra derecesi artan alkollerden geçirilerek dehidratasyon işlemi tamamlandı. Propilen oksitten geçirilen dokular içinde araldit M bulunan kapsüllere yerleştirilip gömme işlemi tamamlandı. Önce yarı ince kesitler alınarak gerekli doku bölümleri bulundu. Bu bölümlerden ince kesitler yapıldı ve kontrast için kurşun nitratla boyandı. Mikro fotoğraflar 2 eiss 9-S E.M. da çekildi.

### BULGULAR

Kliniğimizde takip ettiğimiz bu 18 vak'ının demografik özellikleri, klinik, röntgen ve laboratuvar bulguları Tablo 1'de özetiğimiştir.

İlaveten 3 vak'amıza yaptığım angiografillerden birinde hidrosefaliyi telkin eden bulgular gözlenmiş olup; diğerleri normal bulunmuştur.

Tablo 1 : 18 SSPE Vak'asının Klinik ve Laboratuvar Bulgularının Özeti

Vak'a No:	Cins:	Kademiyi:	Bölgelerde Klinik Bulgular (+ veya -)	+ Direkt Kraniografi	+ SSPE İzin	+ Kranial: Enziti: G (Gr. 0-3) Kromatik Güçlüğü (Gr. 0-3)	+ Direkt Kraniografi Tipi	+ Kranial: Enziti: G (Gr. 0-3) Kromatik Güçlüğü (Gr. 0-3)	+ Direkt Kraniografi Tipi	+ Kranial: Enziti: G (Gr. 0-3) Kromatik Güçlüğü (Gr. 0-3)
							SSPE İzin Tipi	Bilateral koroid plexus kalsifikasyonu	Bilateral koroid plexus ve lentiformis kalsifikasyonu	
1 MD 17 E 2			Orta derecede mental yıklım myoklonik jerk, spastik parapsizi	Sağ frontal sideSZET gözde gazlılığı tipik	SSPE İzin Tipik	Normal	2,6	1/36		
2 NU 9 K 1,5			Orta derecede mental yıklım, myoklonik jerkler	Normal	SSPE İzin Tipik	Normal	1,8	1/16		
3 PU 15 K 2,5			Belirgin mental yıklım, myoklonik jerk	Bilateral koroid plek- sus kalsifik- asyonu	SSPE İzin Tipik	Bilateral koroid plexus ve lentiformis kalsifikasyonu	0,2	1/64		
4 SD 13 K 2,5			Spastik sağ hemiparezi, myoklonik jerk, otoneurik diaponevriyot, ağır mental yıklım	Normal	SSPE İzin Tipik	Kayızman ve ortaya çıkan şiddetli yıklım	1,3	1/48		
5 SD 13 K 8/12			Myoklonik jerk, ağırmental yıklım	Normal	SSPE İzin Tipik	Normal	2,4	1/8		
6 At 12 E 3,5			Myoklonik jerk, hafif mental yıklım, bilateral papil atrozi	Normal	SSPE İzin Tipik	Sagittalis Üstün	1,5	1/8		
7 ÖB 12 E 5			Spastik tetraplejik. Semikoma Normal hali, seyrük myoklonik jerk	Normal	X-rayın tara ve belirgin şiddetli	Normal	2,0		Rehile- vitemi	
8 AC 16 E 4			Spastik sol hemiparezi, myok- lonik jerk, ağır mental yıklım	Normal	SSPE İzin Tipik	Normal	0,6	1/8		
9 RG 11 K 9/12			Myoklonik jerk, hafif mental yıklım	Normal	SSPE İzin Tipik	Meydana gelen enflammat yonelik bulgular	0,8	1/56		
10 NK 9 K 4			Ektokalali, pilokalali, myoklonik Jerk, orta derecede mental yıklım	Normal	Ateşlik sağ- sol paroxi- syal aktivite	Normal	Beklendi- medi			
11 İK 8 K 2			Bilateral papil atrozi, myoklonik Jerk, orta derecede mental yıklım	Normal	SSPE İzin Tipik	Normal	Beklendi- medi			
12 SA 15 E 3			Myoklonik jerk, ağır mental yıklım	Normal	SSPE İzin Tipik	Yapılmış yapılmadı	1/64			
13 GB 13 E 9/12			Spastik tetraplejik, mental yıklım	Normal	SSPE İzin Tipik	Diplofisi istekler ve metabolik attività	1/32			
14 AT 13 E 3			Myoklonik jerk, hafif mental yıklım	Normal	SSPE İzin Tipik	Normal	0,4	1/32		
15 FG 10 S 1			Spastik parapsizi, ağır mental yıklım	Normal	SSPE İzin Tipik	Bilateral temporal lobopedi- atik?	1,6	1/32		
16 Kü 18 K 2			Fokalitik paralizi, bilateral optik nerve, myoklonik jerk	Normal	Normal	Normal			Beklendi- medi	1/64
17 SD 10 E 5			Bilateral serbest göz diffokezyonu, Normal bilgi ve 0,1-0,5 saatlik delijeler, öncəlikle nörotik myoklonik jerk	Normal	Normal	Normal			Beklendi- medi	
18 DC 14 K 1			Alvanitik refleks kaybetme, belirgin Bulbar (3), en fazla refleksi (4), myoklonik jerk, ciddi derecede sitoplazmaya	Normal	Bulbar posterior refleksler, belirgin tara aktivitesi	Normal	Normal		Beklendi- medi	

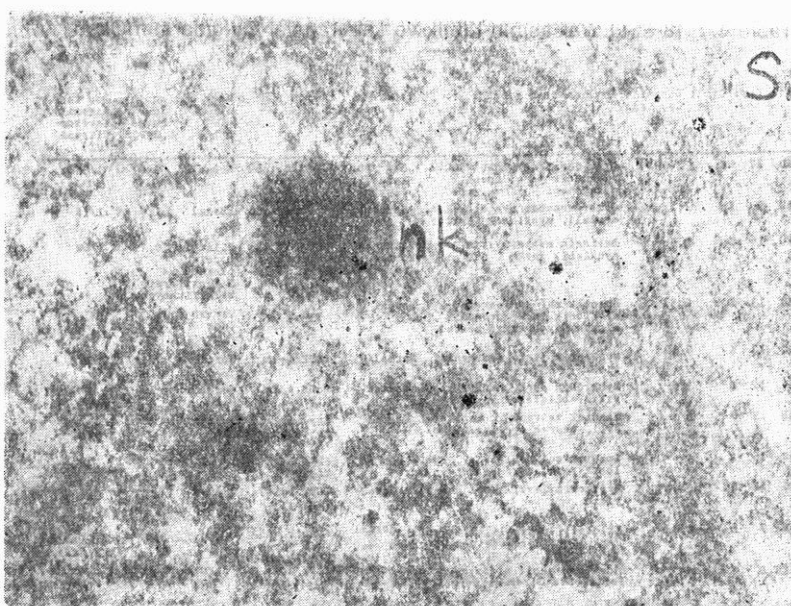
Tablodaki yaşlar yıl olarak verilmüştür. E = Erkek K = Kızdır.

EFG: Elektrogemiyalogram

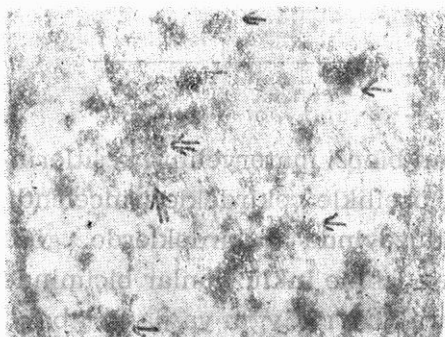
IG: Göz Egilit

HT: Hemogrüntürkmenin inhibitör

2 Vak'ada frontal korteksten alınan biopsi materyelinin kesitlerinde pramidal nöron ve glia hücreleri, özellikle çekirdekleri incelendi. Virus yayılımı elektron mikroskopı düzeyinde çekirdeklerde göze çarptı. Virus nükleokapsidleri çekirdek içinde inklüzyonlar biçiminde ve çekirdek matriksinden belirgin olarak ayrı yaygın ya da kalabalık topluluklar halinde gözlendi. Çekirdek periferinde ise çekirdek zarından sitoplazmaya doğru virus nükleokapsidlerinin geçişini kanısı veren yapılar gözlendi. Bu yapılar periferdeki kromatinden yoğun görünümleriyle ayırt edildiler (Resim 1,2,3).



Resim 1 : Farontal korteks piramidal nöron çekirdeğinde persistent virus nükleokapsidleri matriksten sınırlı inklüzyonlar biçiminde belirgin izleniyor.  
nk : nukleokapsid      si : sitoplazma x 22.000



Resim 2 : Persistent virusun toplulukları hâlinde bütün çekirdek matriksine yaygın olduğu gözleniyor. «okla» Arada ise daha az yoğun virus partikülleri çift okla işaretlenmiştir. Si : Sitoplazma x 10.000



Resim 3 : Persistent virus nükleokapsitlerinin piramidal nöron çekirdeği periferinde çekirdek zarından sitoplazmaya geçişi gözleniyor. (Okla). Si : Sitoplazma  
N : Nukleus x 14.000

### TARTIŞMA

Literatürde belirtilen bulgularla uyumlu olarak vak'alarımızın çoğunuğu kırsal kesimden gelmiş olup; sosyo-ekonomik düzeyi düşük aile çocuklarıdır (1). Vak'alarımızdan 7'si 2 yaşın altında kızamık geçirmiş olup; 8 vak'a 2-5 yaşlar arasında kızamık geçirmiş ve kalan 3 vak'anın ise bu hastalığı geçirme yaşları bilinmemektedir. Yine dikkatimizi çeken bir diğer bulgu ise literatürde (2) belirtildiği üzere 2 yaş altında kızamık geçiren çocuklarda bu hastalığın daha erken yaşta başladığı, daha ağır seyrettiği ve daha hızlı bir progresyon gösterdiğiidir. Ayrıca vak'alarımızın çoğunuğunun akut kızamık enfeksiyonunu diğer sağlıklı çocuklara oranla daha gürültülü geçirdikleride hikayede dikkatimizi çeken bir diğer bulgu idi. Bunlarda daha önce rapor edilen benzer gözlemleri desteklemektedir (2).

Ayrıca ebeveynlerden öğrenebildiğimiz kadariyla bu çocukların çoğunun kızamıkla beraber kızamıkçık ve su çiçeği gibi hastalıklarında yine erken yaşılda geçirdikleri ve diğer çocuklara oranla daha sık ve daha çabuk hastalandıklarıdır. Bu hastalanma ile ebeveynler daha çok üst solunum yolu enfeksiyonunu kastetmektedirler. Bu bulguda daha önce rapor edilen (2) SSPE'li çocukların muhtemelen immün sistemlerindeki immatürite nedeniyle daha sık hastalanmaları (özellikle orofarenks ve Ü.S.Y.E.) ve bu immün sisteme immatüritenin belki de bu çocukların çok erken yaşıta akut kızamık enfeksiyonu geçirmelerinininde nedeni olabileceği şeklindeki bulgularla uyum sağlamaktadır. Ancak bu çalışmamızın kontrol grubu olmadığımda belirtmek isteriz.

Diğer bir klinik gözlemimizde vak'aların kliniğimize daha çok Freeman klasifikasyonuna göre 2-B ve daha sonraki evrelerde başvurmuş olduklarıdır. Tüm hastalarımızla Tablo 1'de belirtildiği gibi SSPE için spesifik bulgular olan; progresifmental yıkım, myoklonik nöbet ve davranış değişiklikleri gibi bulgulara ek olarak, 4 olguda idrar ve gaita inkontinansı gibi otonomik disfonksiyon bulguları, 2 olguda bilateral papil stazı, 1 olguda'da bilateral optik atrofi gözledik. Otonomik disfonksiyon SSPE'de nadir değildir (4), ancak papil stazı ve optik atrofiyi açıklayacak herhangi bir rapora rastlamadık.

Laboratuvar bulgularını değerlendirdiğimizde tüm hastalarımızın BOS'unda protein, şeker ve klorür normal sınırlarda olup, hücre sayısı ise  $10/\text{mm}^3$  ( lökosit ) altındadır. BOS'taki Ig G düzeyi ise bir vak'aımızdaki hafifçe bir yükselme dışında normal sınırlarda bulunmuştur. Bu bulgularda daha önceki raporlarla uygunluk göstermektedir (1,4).

EEG bulgularına gelince 18 vak'anın 13'ünde SSPE için tipik sayılabilecek ölçüde paroksismal yüksek voltaj yavaş dalga kompleksleri ve üzerine süperpoze olmuş SSPE komplekslerini gözledik. 3. devredeki iki vak'aımızda da yine bu devreye özgü bir EEG bulgusu olan yaygın yavaş dalga aktivitesi bulduk. Diğer vak'aların EEG'leri normaldi. Bu bulgularda bizde daha önceki belirtildiği gibi (1,4) EEG'nin SSPE tanısındaki değerini vurguladı. Ancak bir vak'ada gördiğimiz atipik paroksismal aktiviteyi açıklayamadık.

Direkt kroniografide bir vak'ada (Vak'a 1 MD) sağ frontalde band şeklinde kalsifiye bir lezyon gözledik. Ancak bu vak'anın kranial BT'inde bunu açıklayacak bir bulgu gözleyemedik. Diğer vak'aların kraniografisi ise normaldi.

Kranial BT'de ise daha önceki yayılarda belirtilen değişik görüntülere uygun bulgular gözledik (2,4). Bunları kısaca özetleyeceğ olursak; 2 vak'ada ileri derecede beyin ödemi, bir vak'ada atipik yer yer kalsifiye lezyonlar ve yaygın encefaliti düşündüren bulgular, bir vak'ada diffüz serebral ve serebellar atrofi, bir vak'ada da beyaz cevher dansitesinde azalma gözledik.

İki vak'aaya yapılan kortikal biopside ise virus nükleokapsidleri özellikle nöron ve glia hücrelerinin çekirdeklerinde, kısmende bu hücrelerin sitoplazmasında inklüzyon cisimleri şeklinde gösterildi.

SSPE'nin tedavisinde TRH, transfer faktör inosiplex (ISP), amantadine ve interferon kullanımının değişik şekilde yararlı etkilerinden bahsedilmektedir (1,4). Bizde 5 vak'aımıza hem immünomodülatör hemde antiviral etkilere sahip bir ajan olan ISP kullandık. ISP tedavisi verdigimiz 2 vaka çok az sekelle remisyona girdi. Biz burada 1985 - 89 yılları arasında kliniğimizde SSPE tanısıyla takip ettiğimiz 18 vak'a üzerindeki gözlemlerimizi aktarmayı ve bulgularımızı daha önceki raporlarla karşılaştırmayı amaçladık. SSPE hâlâ etyopatogenezi iyi aydınlatılamamış olması nedeniyle etkin bir tedavisinin geliştirilemediği kötü prognoza sahip bir hastalık olarak önemini sürdürmektedir.

## ÖZET

Bu çalışmada 1985 - 89 yılları arasında kliniğimizde yatırılarak SSPE tanısı konan 18 vak'adan elde ettığımız klinik ve histopatolojik bulgular sunulmaktadır. Erken yaşta geçirilen akut kızamık enfeksiyonu ile SSPE arasında bulunan yakın ilişkinin yanı sıra, SSPE'ye yakalanan çocukların başta orofarenks ve Ü.S.Y.E. olmak üzere daha sık enfeksiyon öyküsü gözlenmiştir. Bu nedenle yapılan immunolojik araştırmalarda ise bir anomalite saptanamamıştır. Kortikal biopside piramidal nöron ve glia hücrelerinde, özellikle çekirdek içinde, daha az olarak bu hücrelerin sitoplazmasında virus nükleokapsidleri inklüzyonlar biçiminde gösterilmiştir.

## SUMMARY

### The Clinical And Electronmicroscopic Findings Of 18 SSPE Cases Whom We Followed Up.

In this study we are representing the clinical and histopathological findings of 18 SSPE cases. These cases were hospitalized between 1985 - 89 in our department. We found high correlation rates between SSPE and the earliness of measles infection. We also found that SSPE patients have higher oropharynx and upper respiratory tract infections incidence, but we couldn't find any changes in immunologic laboratory studies. In cortical biopsy specimens we showed virus nucleocapsid inclusions especially in pyramidal and glia cell nuclei there were also some inclusions in the cytoplasm.

## KAYNAKLAR

1. Anlar B Yalaz K : Subakut sklerozan panensefalit. KATKI 7 : 487-90, 1986.
2. Dhib-Jalbut S Liwnicz BH : Rapidly progressive subacute sclerosing panencephalitis : an ultrastructural and immuno peroxidase study. Eur Neurol 23 : 211-220, 1984.
3. Dick G : A study of subacute sclerosing panencephalitis in general practise. J. infect Nov, 282-3, 1987.
4. Fournier J-G Gerfaux J Joret A-M : Subacute sclerosing panencephalitis : Detection of measles virus sequences in RNA extracted from circulating lymphocytes. Br J (Clin Res) 5 : 296, 1988.

5. Freeman JM : The clinical spectrum and early diagnosis of Dawson's encephalitis. With preliminary notes on treatment. *J. Pediatr* 75 : 590-603, 1969.
6. Gay D Dick G Upton G : Multiple sclerosis associated with sinusitis : case controlled study in general practice. *Lancet* I : 815-819, 1986.
7. Jabbour JJ Duenas DA Modlin J : SSPE : Clinical staging, course and frequency, *Arch Neurol* 32 : 493-494, 1975.
8. Nihei K Kamoshita S Mizutani H Kitavama T Nishimura H : Atypical subacute sclerosing panencephalitis. *Acta Neuropath (Berl.)* 38 : 163-166, 1977.
9. Silva CA Paula Barbosa MM Pereira S Curz C : Two cases of rapidly progressive subacute sclerosing panencephalitis. *Arch Neurol* 38 : 109-113, 1981.
10. Sui S MD Kaori M : A Clinical trial of interferon therapy in a case of rapidly progressive SSPE. *Brain Dev* 8 (6) : 636-40, 1986.